

# JEDAN MOGUĆI NAČIN REŠAVANJA GEOMETRIJSKI NELINEARNIH ZADATAKA

## ONE POSSIBLE WAY OF GEOMETRICAL NONLINEAR TASKS SOLUTION



UDK: 513.001.5  
Originalni naučni rad

Docent dr. Gligor RADENKOVIĆ, dipl. inž. građ.

### REZIME

Usvajanjem Lagrangeovog konvektivno koordinatnog sistema komponente tenzora konačne deformacije izražene su kao poluzbir infinitezimalnih deformacija početnog i deformisanog referentnog položaja. Imajući ovo na umu i jednačinu momentog balansa energije, ukupno rešenje geometrijski nelinearnog zadatka dobijamo kao poluzbir linearnih rešenja iz oba referentna položaja.

**Ključne reči:** konvektivna koordinata, tenzor deformacije, geometrijska nelinearnost, konačni element.

### SUMMARY

Assuming convected coordinate frame, strain components are expressed as a average value of a infinitesimal deformations of the underformed and deformed configurations. From the equilibrium momentum balance equation, using standard finite element procedure, the geometrical nonlinear solution is obtained as a average sum of the linear solutions of the original and finite configurations.

**Key words:** convected coordinate, strain tensor, geometrical nonlinearity, finite element.

### UVOD

Materijalnom koordinatom  $X^i$ , čija je vrednost nepromenljiva, opisan je samo početni, nedeformisani, položaj materijalnog tela. Stoga proces deformisanja materijalnog kontinuuma opisuje se prostornom  $x^i$  koordinatom s obzirom da se njene vrednosti menjaju u svakom vremenskom trenutku, odnosno

$$x^i = x^i(X^i, t)$$

Kako je brojna vrednost prostorne koordinate, u odnosu na neki apsolutni sistem koordinata, jednaka zbiru vrednosti materijalne koordinate i odgovarajućeg pomeranja

$$x^i = X^i + V^i$$

osnovni tenzori mehanike kontinuuma, tenzor deformacije i tenzor napona, mogu se izraziti u odnosu na oba sistema koordinata. Jasno je onda da se komponente ovih tenzora u odnosu na dva različita referentna položaja (početni i konačni) međusobno razlikuju.

Ako koordinatni sistem  $x^i$  izaberemo tako da on ne zavisi eksplicitno od vremena [1, 4], odnosno ako prostornoj koordinati u svakom vremenskom trenutku pripisemo materijalni karakter, onda je reč o takozvanom Lagrangeovom konvektivnom koordinatnom sistemu ili sistemu materijalnih linija.

U odnosu na takav sistem koordinata komponente Lagrangeovog tenzora deformacije i u materijalnom  $\varepsilon_{ij}$  i u prostornom  $\xi_{ij}$  međusobno su jednake [2,3], odnosno

$$\varepsilon_{ij} = \frac{1}{2}(e_{ij} + e_{ji} + e_i^m e_{mj} = \frac{1}{2}(\eta_{ij} + \eta_{ji} + \eta_i^m \eta_{mj}) = \xi_{ij} \quad (1)$$

gde su

$$e_i^m = V^m|_i; \eta_i^m = v^m|_i$$

gradijenti pomeranja  $a V^i$  i  $v^i$  komponente pomeranja u odnosu na bazne trijedre početnog i trenutnog položaja.

Komponente Lagrangeovog tenzora deformacije, uzimajući u obzir zavisnost gradijenata pomeranja različitih konfiguracija, odnosno

$$e_{ij} = \eta_{mj}(\delta_j^m - \eta_i^m)$$

možemo napisati i u formi

$$\varepsilon_{ij} = \frac{1}{2}(e_{ij} + \eta_{ji}) \quad (2)$$

odakle možemo videti da one predstavljaju poluzbir gradijenata pomeranja različitih konfiguracija.

### POSTAVKA GEOMETRIJSKI NELINEARNOG ZADATAKA

Imajući na umu simetričnost  $\varepsilon_{ij}$  tenzora prethodni izraz možemo transformisati i na sledeći oblik

$$\begin{aligned} \varepsilon_{ij} &= \frac{1}{2}(\varepsilon_{ij} + \varepsilon_{ji}) = \frac{1}{2} \left[ \frac{1}{2}(e_{ij} + \eta_{ji}) + \frac{1}{2}(e_{ji} + \eta_{ii}) \right] = \\ &= \frac{1}{4} \left[ (e_{ij} + e_{ji}) + (\eta_{ij} + \eta_{ji}) \right] \end{aligned} \quad (3)$$

odakle sledi

Adresa autora: Građevinski fakultet, 11000 Beograd, Bulevar kralja Aleksandra 73

$$\varepsilon_{ij} = \frac{1}{2}(E_{ij} + \varepsilon_{ij}) \quad (4)$$

gde su:

$$E_{ij} = \frac{1}{2}(e_{ij} + e_{ji}) \text{ i } \varepsilon_{ij} = \frac{1}{2}(\eta_{ij} + \eta_{ji}) \quad (5)$$

tenzori infinitezimalnih deformacija, merenih u odnosu na početni i trenutni položaj.

Na osnovu prethodnih izraza možemo videti da je razlika infinitezimalnih deformacija iz dva različita referentna položaja jednaka

$$2R_{ij} = \varepsilon_{ij} - E_{ij} = e_{mi}e_{j}^m = \eta_{mi}\eta_{j}^m \quad (6)$$

odakle sledi jednakost nelinearnih članova po apsolutnoj vrednosti u tenzoru deformacije definisanog izrazima (1). Na taj način komponente  $\varepsilon_{ij}$  možemo napisati i kao

$$\varepsilon_{ij} = E_{ij} + R_{ij} = \varepsilon_{ij} - R_{ij} \quad (7)$$

Za našu dalju analizu od značaja je relacija (4), odakle se može konstatovati da rešenje geometrijskih nelinearnog zadatka predstavlja superpoziciju linearnih rešenja sa faktorom 1/2 u odnosu na dva limitna referentna položaja. Poznavanjem početne geometrije strukture kao i opterećenja poznato je i nulto linearno rešenje  $P_0$ , dok drugo linearno rešenje  $P_\tau$  sadrži u sebi nepoznatu metriku deformisanog položaja. U odnosu na ukupnu Lagrangeovu deformaciju rešenja  $P_0$  ima fiksni karakter dok s druge strane rešenje  $P_\tau$  zahteva iterativni ciklus u cilju iznalaženja tačne deformisane geometrije. Imajući na umu prethodne konstatacije geometrijski nelinearan problem u sistemu materijalnih linija transformisan je na problem nalaženja metrike konačnog deformisanog položaja, za razliku od istovetnog zadatka prezentiranog u odnosu na prostorni sistem koordinata čija je nelinearnost posledica nelinearnih deformacija kinematičkih relacija.

S obzirom da su  $\varepsilon_{ij}$  linearne komponente rešenja  $P_\tau$  ne predstavlja ništa drugo do linearne uslove ravnoteže ispisani na deformisanom elementu čime ono u potpunosti postaje ekvivalentno rešenju tzv. teorije drugog reda. Formalno ovo možemo napisati i kao

$$P = \frac{1}{2}(P_0 + P_\tau) = \frac{1}{2}(P_0 + P_{2\tau}) \quad (8)$$

Metod konačnih elemenata pri ovakvom algoritmu u osnovi zahteva dva kompleta čvornih nepoznatih: jedan referisan u odnosu na nulte (rešenje  $P_0$ ) dok je drugi u odnosu na nepoznate deformisane bazne vektore,  $P_\tau$ . Ovaj problem eliminiše se transformacijom jednih pomeranja na druge. S obzirom da su deformacije  $\varepsilon_{ij}$  nepoznate veličine a samim tim i vektor pomeranja  $\vec{v}$  pogodnije je u svakom iterativnom ciklusu vektor  $\vec{V}$  prevesti na sistem trenutnog baznog trijedra  $\vec{g}_i$ .

## TRANSFORMACIJA VEKTORA POMERANJA POČETNE KONFIGURACIJE NA DEFORMISANI POLOŽAJ

U slučaju konačnog elementa ljske vektor čvornih nepoznatih sadrži tri komponente pomeranja i dve komponentalne rotacije, odnosno

$$\mathbf{V}^T = [V^1, V^2, V^3, \theta_1, \theta_2]$$

$$\mathbf{v}^T = [v^1, v^2, v^3, \varphi_1, \varphi_2]$$

S obzirom da je ukupni vektor pomeranja nezavistan od koordinatnog sistema, odnosno

$$\vec{v} = V^m \vec{G}_m = v^k \vec{g}_k$$

sledi da su pomeranja  $V^m$  jednaka

$$V^m = (\delta_k^m + e_k^m) v^k \quad (9)$$

dok iz uslova  $\theta_\alpha \vec{G}^\alpha = \varphi_\beta \vec{g}^\beta$  nalazimo da su rotacije  $\theta_\alpha$  izražene preko odgovarajućih vrednosti  $\varphi_\beta$  na sledeći način

$$\theta_\alpha = (\delta_\alpha^\beta - \eta_{\alpha}^\beta) \varphi_\beta \quad (10)$$

Prethodne relacije možemo prikazati i u matricnoj formi kao

$$\mathbf{V} = \mathbf{T}\mathbf{v} \quad (11)$$

pri čemu je matrica transformacije  $\mathbf{T}$  oblika

$$\mathbf{T} = \begin{bmatrix} \mathbf{T}_V \\ \mathbf{T}_\theta \end{bmatrix} \quad (12)$$

sa submatricama  $\mathbf{T}_V$  i  $\mathbf{T}_\theta$  čiji su elementi jednaki

$$\mathbf{T}_V = \begin{bmatrix} 1 + e_{.1}^1 & e_{.2}^1 & e_{.3}^1 \\ e_{.1}^2 & 1 + e_{.2}^2 & e_{.3}^2 \\ e_{.1}^3 & e_{.2}^3 & 1 + e_{.3}^3 \end{bmatrix}$$

$$\mathbf{T}_\theta = \begin{bmatrix} 1 - \eta_{.1}^1 & -\eta_{.2}^1 \\ -\eta_{.1}^2 & 1 - \eta_{.2}^2 \end{bmatrix} \quad (13)$$

Unutrašnji virtualni rad zasnovan na principu virtualnih pomeranja predstavljen je kao

$$R_i = \int_V s^{ij} \delta \varepsilon_{ji} dV = \frac{1}{2} \int_V s^{ij} (\delta E_{ji} + \delta \varepsilon_{ji}) dV \quad (14)$$

gde je  $s^{ij}$  Piola-Kirchhoff tenzor napona druge vrste, odnosno

$$s^{ij} = D^{ijkl} \varepsilon_{kl} = \frac{1}{2} D^{ijkl} (E_{kl} + \varepsilon_{kl}) \quad (15)$$

odakle sledi da je

$$R_i \frac{1}{4} \int_V D^{ijkl} (E_{kl} + \varepsilon_{kl}) (\delta E_{ji} + \delta \varepsilon_{ji}) dV \quad (16)$$

Korišćenjem matricne notacije prethodni izraz napisaćemo u obliku

$$R_i = \frac{1}{4} \int_V (\mathbf{E} + \varepsilon)^T \mathbf{D} (\delta \mathbf{E} + \delta \varepsilon) dV \quad (17)$$

gde su:

$$\mathbf{E}^T = [E_{11}, E_{22}, E_{12}] \quad \varepsilon^T = [\varepsilon_{11}, \varepsilon_{22}, \varepsilon_{12}]$$

vektori linearnih deformacija nultih i trenutnih položaja, respektivno za slučaj dvodimenzionalnog stanja deformacija.

Standardnom procedurom metode konačnih elemenata [3,5], uvođenjem transformacionih matrica deformacije, linearni vektori  $\mathbf{E}$  i  $\varepsilon$  izraženi su u funkciji od osnovnih čvornih nepoznatih, tj.

$$\mathbf{E} = \mathbf{B}_L \mathbf{V} = \mathbf{B}_L \mathbf{T} \mathbf{v} \varepsilon = \beta_L \mathbf{v} \quad (18)$$

Zamenom ovih relacija u jednačinu (17) rezultira efektivna krutost konačnog elementa, odnosno

$$k_{EF} = \frac{1}{4} (\mathbf{T}^T \mathbf{K}_{L0} \mathbf{T} + \mathbf{T}^T \mathbf{K}_{L0\tau} + \mathbf{K}_{L\tau 0} \mathbf{T} + \mathbf{K}_{L\tau}) \quad (19)$$

pri čemu su uvedene sledeće oznake

$$\begin{aligned} \mathbf{K}_{L0} &= \int_V \mathbf{B}_L^T \mathbf{D} \mathbf{B}_L dV \\ \mathbf{K}_{L0\tau} &= \int_V \mathbf{B}_L^T \bar{\mathbf{D}} \beta_L dV = \mathbf{K}_{L\tau 0} \\ \mathbf{K}_{L\tau} &= \int_V \beta_L^T \bar{\mathbf{D}} \beta_L dV \quad \bar{\mathbf{D}} = \sqrt{\frac{G}{g}} \mathbf{D} \end{aligned} \quad (20)$$

Iz izraza (19) jasno je da efektivna matrica egzistira kao superpozicija linearnih krutosti konačnog elementa (2). Indeksi 0 i  $\tau$  označavaju konfiguraciju, odnosno bazne vektore u odnosu na koje su referisane. Matricama  $\mathbf{K}_{L0}$  i  $\mathbf{K}_{L\tau}$  definisane su linearne krutosti početne i deformisane geometrije konačnog elementa. Elementi mešovutih matrica  $\mathbf{K}_{L0\tau}$  i  $\mathbf{K}_{L\tau 0}$  mereni su u odnosu na oba bazna trijedra  $\bar{G}_i$  i  $g_i$ .

Na osnovu izraza (14) – (20) lako možemo uočiti bitnu razliku ovako postavljenog geometrijski nelinearnog zadatka i istog problema u sistemu prostornih koordinata. Naime, obe inkrementalne formulacije u sistemu prostornih koordinata, Totalni i Updated Lagrangian, zahtevaju linearizaciju jednačine momentnog balansa u odnosu na komponente i tenzora deformacije i tenzora napona, što ovde nije slučaj.

Jednačina (14) možemo preurediti i u formi

$$R_i = \frac{1}{2} \left[ \int_V s^{ij} \delta E_{ij} dV + \int_v t^{ij} \delta \varepsilon_{ij} dv \right] \quad (21)$$

gde su  $t^{ij}$  komponente Cauchyjevog tenzora napona i jednake su

$$t^{ij} = \sqrt{\frac{G}{g}} s^{ij} \quad dv = \sqrt{\frac{g}{G}} dV$$

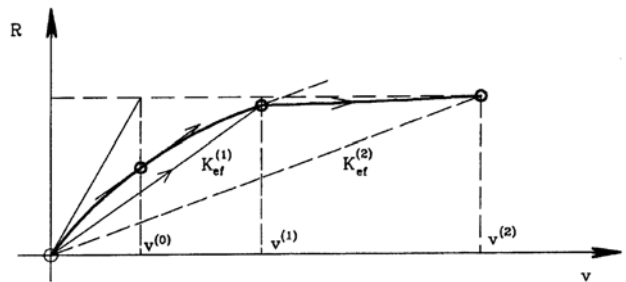
Ako  $s^{ij}$  i  $t^{ij}$  komponente tenzora napona u jednačini (21) sračunamo samo iz infinitezimalne deformacije, što odgovara linearizaciji samo tenzora napona, onda konačno rešenje problema svodimo na poluzbir linearnih rešenja početnog i deformisanog položaja.

Ovakav algoritam za razliku od Totalne i Updated Lagrangeove formulacije podrazumeva nanošenje celokupnog opterećenja u jednom koraku i svodi se na rešavanje sistema linearnih jednačina oblika

$$\mathbf{k}_{EF} \mathbf{v} = \mathbf{r} \Rightarrow \mathbf{v} = \mathbf{k}_{EF}^{-1} \mathbf{r} \quad (22)$$

gde su  $\mathbf{v}$  i  $\mathbf{r}$  vektori ukupnih čvornih pomeranja i zadatih spoljašnjih sila. S obzirom na postojanje samo jednog inkrementa ovakav postupak trebalo bi da dovede do značajno efikasnijih rešenja geometrijski nelinearnog zadatka u odnosu na standardne procedure. U nultoj iteraciji sve linearne krutosti (20) međusobno su jednake, dok je matrica transformacije ekvivalentna jediničnoj matrici  $\mathbf{T} = \mathbf{I}$ , što ima za posledicu da je efektivna krutost  $\mathbf{k}_{EF}$  jednaka matrici  $\mathbf{K}_{L0}$ .

Vezano za ovaj postupak pogodnije je korišćenje termina aproksimacije na mesto reči iteracija. Zapravo konačno pomeranje deformisane strukture ne nalazimo superpozicijom inkrementalnog i iterativnog pomeranja, već ga dobijamo kao linearno rešenje za dovoljno tačno utvrđenu geometriju na osnovu nekoliko prethodnih pokušaja (slika 1).



Slika 1

Inverzijom matrice  $\mathbf{T}$  (12), odnosno

$$\mathbf{v} = \mathbf{T}^{-1} \mathbf{V} = \mathbf{t} \mathbf{V} \quad (23)$$

efektivnu matricu krutosti (19) možemo redefinisati i u odnosu na bazne trijedre originalne geometrije.

$$\mathbf{K}_{EF} = \frac{1}{4} (\mathbf{K}_{L0} + \mathbf{K}_{L0\tau} \mathbf{t} + \mathbf{t}^T \mathbf{K}_{L\tau 0} + \mathbf{t}^T \mathbf{K}_{L\tau}) \quad (24)$$

rešavajući pri tome sistem linearnih jednačina, tj.

$$\mathbf{K}_{EF} \mathbf{V} = \mathbf{R} \quad (25)$$

gde je  $\mathbf{R}$  vektor spoljašnjih čvornih sila, invarijantnih u odnosu na proces defomisanja.

Treba napomenuti da je pri varijaciji izraza (17) u oba slučaja (19) i (24) matrica transformacije  $\mathbf{T}$  tretirana kao konstanta usvajanjem vrednosti iz prethodno razmatrane aproksimacije. Takođe možemo primetiti da su tangencijalne krutosti (19) i (24) međusobno vezane kao

$$\mathbf{k}_{EF} = \mathbf{T}^T \mathbf{K}_{EF} \mathbf{T} \Rightarrow \mathbf{K}_{EF} = \mathbf{t}^T \mathbf{k}_{EF} \mathbf{t} \quad (26)$$

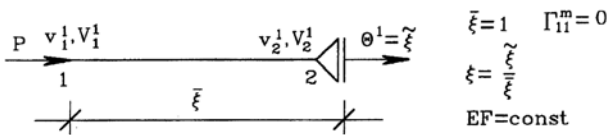
čineći tako u osnovi istu matricu krutosti koja se može transformisati sa jednog baznog trijedra na drugi.

## BROJNI PRIMER

Na kraju ovog rada opisani algoritam ilustriramo jednostavnim primerom aksijalno prisutnog, odnosno zategnutog štapa. Pravolinijski štap dužine  $2L$  opterećen koncentrisanim aksijalnim silama na krajevima, prikazan na slici 2, modelisan je sa dva linijska konačna elementa dužine  $L$ , sa usvojenom linearnom promenom podužnih pomeranja unutar elementa, odnosno

$$V^1 = (1 - \xi)V_1^1 + \xi V_2^1 \quad v^1 = (1 - \xi)v_1^1 + \xi v_2^1$$

Radi jednostavnosti a s obzirom na simetriju za analizu dovoljan je samo jedan element (slika 2). Imajući na umu konvektivni karakter koordinate  $\theta^1$  ( $\bar{\xi}$ ), dužina  $\bar{\xi}$  i posle deformacije ostaje nepromenjena. Kako je element prav i u deformisanom položaju svi Christoffelovi simboli ostaju jednaki nuli,  $\Gamma_{11}^m = 0$ .



Slika 2

Na osnovu izraza (4) podužnu deformaciju  $\varepsilon_{11}$  izrazićemo kao

$$\varepsilon_{11} = \frac{1}{2}(E_{11} + \varepsilon_{11})$$

gde su:

$$E_{11} = e_{11} = V_{1|1} = V^1|_1 = V^1_{,1}$$

$$\varepsilon_{11} = \eta_{11} = v_{1|1} = g_{11} v_{,1}^1 \quad (27)$$

odnosno vektori transformacije linearnih deformacija (18)

$$\mathbf{B}_L = \frac{1}{L}[-1, 1] \quad \beta_L = \frac{1}{L}g_{11}[-1, 1] = g_{11}\mathbf{B}_L \quad (28)$$

Komponenta pomeranja  $v^1$  transformisana je na pomeranje  $V^1$  početne geometrije

$$v^1 = \frac{1}{1 + e_{,1}^1} V^1 = \frac{1}{\sqrt{g_{11}}} V^1 \Rightarrow t = \frac{1}{\sqrt{g_{11}}} \quad (29)$$

Korišćenjem prethodnih izraza, linearne krutosti (20) nalazimo kao

$$\mathbf{K}_{L0} = \frac{EF}{L} \begin{bmatrix} 1 & -1 \\ -1 & 1 \end{bmatrix}$$

$$\mathbf{K}_{L0\tau} = g_{11} \mathbf{K}_{L0} = \mathbf{K}_{L\tau0} \quad K_{L\tau} = g_{11}^2 \mathbf{K}_{L0} \quad (30)$$

odakle sledi da je tangencijalna matrica krutosti (23) jednaka

$$\mathbf{K}_{EF} = \frac{1}{4} \frac{EF}{L} (1 + \sqrt{g_{11}})^2 \begin{bmatrix} 1 & -1 \\ -1 & 1 \end{bmatrix} \quad (31)$$

U konkretnom slučaju s obzirom da je  $V_2^1 = 0$ , veličina  $\sqrt{g_{11}}$  jednaka  $\sqrt{g_{11}} = 1 - V_1^1/L$  pa se može konstatovati da je za slučaj pritiska  $V_1^1 > 0$  što ima za posledicu razmekšavanje tangencijalne krutosti čime se dobijaju pomeranja veća od linearnog rešenja. U uslovima zatezanja  $V_1^1 < 0$ , odnosno  $\mathbf{K}_{EF} > \mathbf{K}_{L0}$  odakle sledi da je nelinearno rešenje manje od linearnog.

## LITERATURA

- [1] Stojanović, R.: Uvod u nelinearnu mehaniku kontinuuma, Univerzitet u Beogradu, Beograd, 1965.
- [2] Green, E.A., Adkins, J.E., Large: Elastic Deformations and Nonlinear Continuum Mechanics, Clarendon Press, Oxford, 1960.
- [3] Vukelić, S., Radenković, G.: Tanke elastične ljuske: Teorija i specijalna poglavlja, Gros knjiga, Beograd, 1995.
- [4] Mićanović, M.: Primenjena mehanika kontinuuma, Naučna knjiga, Beograd, 1990.
- [5] Zienkiewicz, C.O.: The Finite Element Method, Third ed., McGraw-Hill, London, 1977.